

## HRAES-RAZISKAVE HERCINITA NA POVRŠINI ZLITINE FeSiAl

### HRAES ANALYSIS OF HERCYNITE ON THE SURFACE OF AN FeSiAl ALLOY

Nataša Lipovšek<sup>1</sup>, Monika Jenko<sup>1</sup>, Bojan Breskvar<sup>1</sup>, Blaženka Koroušić<sup>1</sup>,  
Ladislav Kosec<sup>2</sup>, Vasilij Prešern<sup>3</sup>

<sup>1</sup>Institut za kovinske materiale in tehnologije, Lepi pot 11, 1000 Ljubljana, Slovenija

<sup>2</sup>OMM, NTF, Univerza v Ljubljani, Aškerčeva 12, 1000 Ljubljana, Slovenija

<sup>3</sup>ACRONI d.o.o., Cesta Borisa Kidriča 44, 4270 Jesenice, Slovenija

natas.a.lipovsek@imt.si

Prejem rokopisa - received: 2001-11-26; sprejem za objavo - accepted for publication: 2002-01-18

Študirali smo sestavo oksidne plasti na površini visoko legirane neorientirane elektro pločevine med razogljičenjem. Vzorce smo žarili v plinski mešanici vodika in vodne pare pri temperaturi 970 °C, 5 minut, pri različnih vsebnosti vodne pare. Oksidno plast smo analizirali z metodami elektronske spektroskopije in ugotovili, da je porozna oksidna plast  $\text{Fe}_3\text{O}_4$ , kompaktna pa  $\text{FeAl}_2\text{O}_4$  oziroma hercinit. Izdelali smo sintetični hercinit, ki nam je rabil kot standard za HRAES- in XPS-raziskave.

Ključne besede: zlitina FeSiAl, razogljičenje, oksidna plast, hercinit

We have studied the oxide layer growth and its chemical composition during the decarburization process for a FeSiAl alloy. The samples were annealed in a gas mixture of  $\text{H}_2$  and  $\text{N}_2$  with different oxygen potential is at 970 °C for 5 minutes. The oxide layer was studied by using different electron spectroscopy techniques. We found that the oxide layer was a mixture of porous  $\text{Fe}_3\text{O}_4$  and compact  $\text{FeAl}_2\text{O}_4$  (hercynite). A synthetic hercynite standard was prepared for XPS and HRAES measurements.

Key words: FeSiAl alloy, decarburization, oxide layer, hercynite

## 1 UVOD

O izdelavi neorientirane elektropločevine (zlitine FeSiAl) obstaja vrsta publikacij različnih avtorjev, ki si prizadevajo dobiti optimalne električne in magnetne lastnosti neorientirane elektropločevine z nizkimi proizvodnimi stroški izdelave.

Najpomembnejši proces izdelave je razogljičenje v vlažni atmosferi. Elektropločevina doseže primerne magnetne lastnosti šele potem, ko z razogljičenjem zmanjšamo koncentracijo ogljika. Med žarjenjem v plinski mešanici vodika, dušika in vodne pare ogljik na površini oksidira v  $\text{CO}$  in  $\text{CO}_2$ . Površina neorientirane elektropločevine se med razogljičenjem oksidira in nastane oksidna plast. Mehanizem razogljičenja poteka v dveh delih: preko temperaturno odvisne difuzije ogljika in kemijskih reakcij na površini. Koncentracija ogljika v elektropločevinah mora biti manjša od 0,002 mas. % C za zahtevane magnetne lastnosti.

## 2 EKSPERIMENTALNO DELO

Analizirali smo vzorce iz nerazogljičene elektropločevine, izdelane iz silicijevega jekla po postopku VOD. Jeklo je bilo ulito v slabe, vroče izvaljano do končne debeline 2,4 mm ter hladno izvaljano do končne debeline 0,5 mm s približno 80-odstotno stopnjo deformacije. Iz pločevine smo izrezali vzorce dimenzijs  $90 \times 20 \times 0,5$  mm in jih žarili 5 min v plinski mešanici

vlažnega vodika in dušika  $\text{H}_2 : \text{N}_2 = 30 : 70$ . Potek razogljičenja in nastanek oksidnih plasti smo spremljali pri temperaturi 970 °C. Sproti smo kontrolirali temperaturo rosišča plinske mešanice. Primerjali smo nastanek oksidnih plasti pri različnih temperaturah rosišča v plinskih mešanicah. **Tabela 1** prikazuje razmere pri žarjenju.

**Tabela 1:** Oznaka vzorcev in temperatura žarjenja

**Table 1:** Number of samples and annealing temperature

Oznaka vzorca	Temperatura (°C)	Razmerje plinov	$p(\text{H}_2\text{O})/p(\text{H}_2)$	Čas žarjenja (min)
A	970	$\text{H}_2 : \text{N}_2 = 30 : 70$	0,07	5
B	970	$\text{H}_2 : \text{N}_2 = 30 : 70$	0,12	5

Izdelali smo sintetični hercinit ( $\text{FeAl}_2\text{O}_4$ ). Komponenti za izdelavo sta bili železov oksid (99,9 mas. %  $\text{FeO}$ ) in aluminijev oksid (99,2 mas. %  $\alpha$ - $\text{Al}_2\text{O}_3$ ). Prah železovega oksida smo zdrobili v terilnici  $\text{Al}_2\text{O}_3$  do velikosti zrn nekaj mikrometrov in ga v mešalniku homogenizirali v razmerju 58,66 mas. %  $\text{Al}_2\text{O}_3$  in 41,34 mas. %  $\text{FeO}$ . Mešanico prahov smo enostransko stisnili v orodju s tlakom 150 kN v tableto premera 12 mm. Tableto smo sintrali na temperaturi 1300 °C 48 ur v vakuumu pri tlaku  $2 \cdot 10^{-5}$  mbar.

### 3 REZULTATI IN DISKUSIJA

#### 3.1 Analiza sintetičnega hercinita z metodo rentgenskega uklona

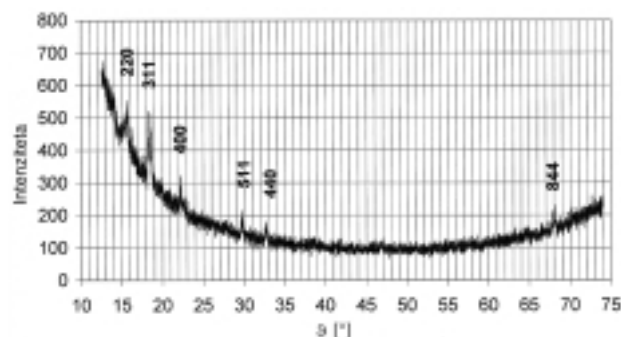
Sintetični hercinit smo identificirali z metodo rentgenskega uklona v Seemann - Bohlinovi geometriji. Izmerjeni spekter sintetičnega hercinita prikazuje **slika 1**.

#### 3.2 Analiza naravnega hercinita z metodo rentgenskega uklona

Za kvantitativno analizo s HRAES- in XPS-metodama oksidnih plasti, ki so nastale med žarjenjem za razogličenje in rekristalizacijo neorientiranih elektroplečevin, potrebujemo standardne podatke s točno določeno sestavo in kristalno strukturo, poleg podatkov, navedenih v strokovni literaturi. Za vse okside, ki lahko nastanejo na površini med razogličenjem, je bilo na voljo dovolj podatkov, razen za hercinit. Sintetični hercinit smo primerjali z naravnim, vendar ga v naravi težko najdemo. Strukturo naravnega in sintetičnega hercinita smo določili z XRD metodo. Strukturo naravnega minerala sintetičnega hercinita prikazuje **slika 2**.

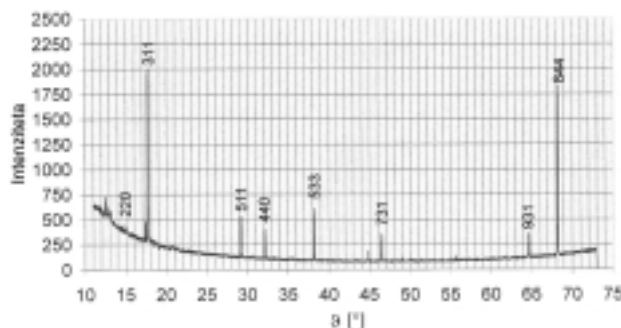
#### 3.3 Karakterizacija oksidnih plasti

Raziskali smo oksidne plasti pri vzorcih, ki so nastale med žarjenjem pri temperaturi 970 °C, pri različnih temperaturah rosišča plinske mešanice (20 in 55 °C) in



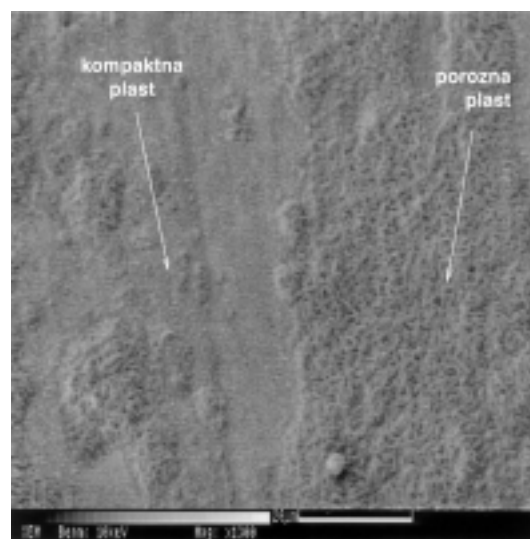
**Slika 1:** XRD-spekter sintetičnega hercinita

**Figure 1:** XRD spectra of synthetic hercynite



**Slika 2:** XRD-spekter naravnega minerala hercinita

**Figure 2:** XRD spectra of mineral hercynite



**Slika 3:** Oksidna plast na vzorcu A; povečava 1300-krat (SEM)

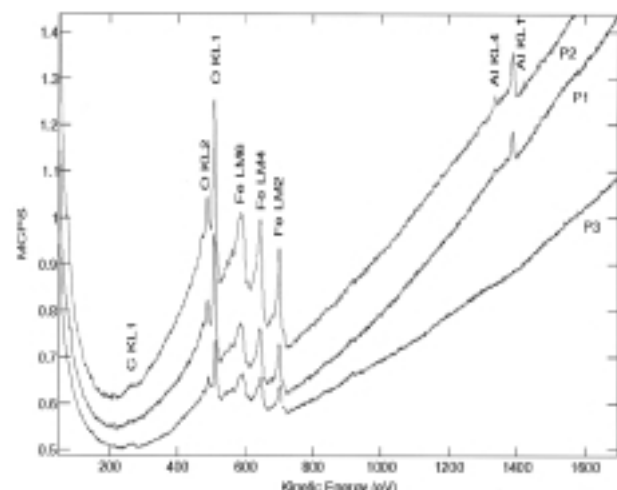
**Figure 3:** Oxide layer on sample A, 1300×, (SEM)

pri enako dolgem času žarjenja (5 minut). Pri vseh treh vzorcih smo opazili hercinit.

**Slika 3** prikazuje posnetek oksidne plasti, ki je nastala na vzorcu A med žarjenjem na temperaturi 970 °C v plinski mešanici  $H_2 : N_2 = 30 : 70$ , pri temperaturi rosišča 20 °C in času žarjenja 5 minut. Na sliki opazimo nastanek porozne in kompaktne oksidne plasti. Debelina oksidne plasti pri vzorcu A je okoli 0,5 μm.

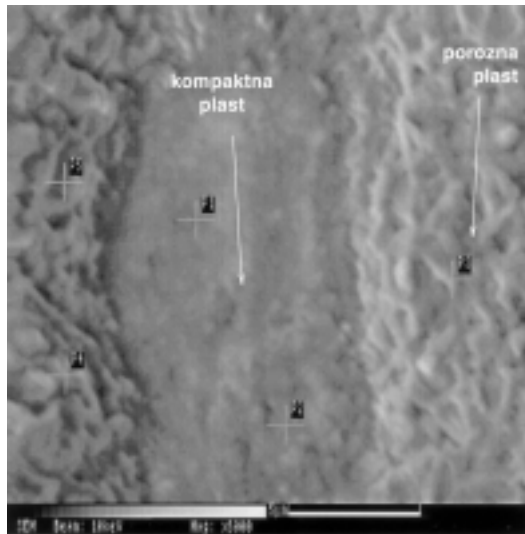
HRAES-spektri v točkah P<sub>1</sub>, P<sub>2</sub> in P<sub>3</sub> so prikazani na **sliki 4**. V točkah P<sub>1</sub> in P<sub>2</sub> smo določili hercinit ( $FeAl_2O_4$ ), v točki P<sub>3</sub> pa  $Fe_3O_4$ .

Na **sliki 5** je posnetek oksidne plasti na vzorcu B, ki je nastala med žarjenjem na temperaturi 970 °C v plinski mešanici  $H_2 : N_2 = 30 : 70$ , pri temperaturi rosišča 55 °C in času žarjenja 5 minut. Na sliki opazimo nastanek



**Slika 4:** HRAES-spektri vzorca A, posneti v točkah P<sub>1</sub>, P<sub>2</sub> in P<sub>3</sub>

**Figure 4:** HRAES spectra of oxide layer on sample A, measured at positions P<sub>1</sub>, P<sub>2</sub> and P<sub>3</sub>



**Slika 5:** Oksidna plast na vzorcu B in točke, v katerih je bila narejena HRAES-analiza; povečava 6000-krat (SEM)

**Figure 5:** Oxide layer on sample B, and positions of HRAES analysis, 6000 $\times$ , (SEM)

porozne in kompaktne oksidne plasti. Debelina oksidne plasti pri vzorcu B je okoli 2  $\mu\text{m}$ .

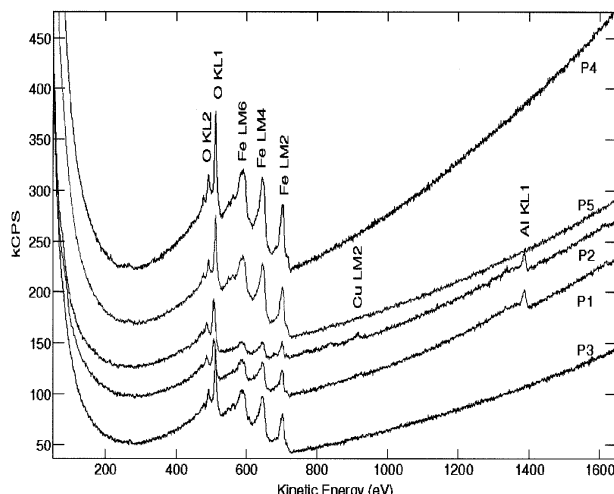
**Slika 6** prikazuje točke od  $P_1$  do  $P_5$ , kjer so bili posneti HRAES-spektri. V točkah  $P_1$  in  $P_2$  smo ugotovili hercinit ( $\text{FeAl}_2\text{O}_4$ ), v drugih pa  $\text{Fe}_3\text{O}_4$ .

#### 4 SKLEPI

Raziskali smo oksidne plasti, ki nastanejo med žarjenjem neorientirane elektropločevine za razogljičenje in rekristalizacijo v vlažni plinski mešanici vodika in dušika. Nastalo oksidno plast smo analizirali z metodami za analizo površin, kot so: HRAES, SAM, SEM in XPS. Največja težava je bila analizirati kompaktno oksidno plast, kjer se je pojavil hercinit. Njegovo prisotnost smo težko potrdili, saj nam ni bilo v literaturi na voljo dovolj podatkov, ki bi jih lahko uporabili za HRAES- in XPS-analizo.

Izdelali smo standard sintetičnega hercinita in ga z XRD-meritvami potrdili. Z mednarodnim sodelovanjem smo dobili vzorec naravnega minerala hercinita in ga prav tako pregledali z XRD-meritvami. Oba standarda smo uporabili za določitev hercinita v nastalih oksidnih plasteh.

Podrobno smo preiskali nastale oksidne plasti pri temperaturi 970 °C, pri različnih temperaturah rosišča plinske mešanice (20 in 55 °C) in pri enako dolgem času žarjenja (5 minut). Ugotovili smo, da pri tej temperaturi žarjenja in obeh temperaturah plinske mešanice nastaja pretežno porozna oksidna plast, na nekaterih mestih pa je ta plast kompaktna.



**Slika 6:** HRAES-spektri vzorca B, posneti v točkah od  $P_1$  do  $P_5$

**Figure 6:** HRAES spectra of oxide layer on sample B, measured at positions from  $P_1$  to  $P_5$

Rezultati raziskav so pokazali, da je porozna oksidna plast  $\text{Fe}_3\text{O}_4$ . Pri teh vzorcih nismo ugotovili hercinita. V jeklu, legiranem z aluminijem, lahko nastaja na površini hercinit ( $\text{FeAl}_2\text{O}_4$ ). Kompaktno oksidno plast sestavlja hercinit, ki smo ga dokazali z HRAES- in XPS-metodama za analizo površin trdnih snovi. Kompaktna oksidna plast preprečuje nadaljnje razogljičenje, izhajajoči CO oziroma  $\text{CO}_2$  pa povzroči razpoke in luščenje plasti.

#### 5 LITERATURA

- <sup>1</sup> M. Jenko, B. Koroušić, Dj. Mandrino, V. Prešern, HRAES Study of Oxide Scale Formation by Decarburization of Non-oriented Electrical Steel Sheets, Vacuum, 57 (2000), 295-305
- <sup>2</sup> M. Jenko, J. Fine, Dj. Mandrino, Effects of Selenium Surface Segregation on the Texture of a Selenium-doped FeSi Alloy, Surface and Interface Analysis, 30 (2000), 350-353
- <sup>3</sup> D. Steiner Petrovič, M. Jenko, V. Gontarev, H. J. Grabke, Decarburization Mechanism of Fe-Si-Al Alloy with Antimony Addition, Kovine Zlitine Tehnologije, 32 (1998) 6, 493-495
- <sup>4</sup> JCPDS, International Center for Difraction data, Swarthmore, (1982), 3-894, 453
- <sup>5</sup> D. Briggs and M. Seah, Empirically Drived Atomic Sensitivity Factors for XPS, Practical Surface Analysis, Second Edition, 1990, 1, 635-650
- <sup>6</sup> D. Brion, Etude par spectroscopie de Photoelectrons de la Degradation Superficielle de  $\text{FeS}_2$ ,  $\text{CuFeS}_2$ ,  $\text{ZnS}$  et  $\text{PbS}$  à L'Air et dans L'Eau, Application of Surface Science, 5 (1980) 133-152
- <sup>7</sup> A. M. Beccaria, G. Poggi, G. Castello, Influence of Passive Film Composition and Sea Water Pressure on Resistance to Localised Corrosion of Some Stainless Steels in Sea Water, British Corrosion Journal, 30 (1995), 283-387
- <sup>8</sup> M. P. Seah, W. A. Dench, Quantitative Electron Spectroscopy of Surfaces: A Standard Data Base for Electron Inelastic Mean Free Path Solids, Surface and Interface Analysis, 1 (1979) 1, 2-11
- <sup>9</sup> V. Marinković, Mejne površine, Univerza v Ljubljani, 1999, 29-33
- <sup>10</sup> Metals Handbook, Vol. 8, Ninth Editon, ASM International, Metals Park, Ohio, 1987, 549-555